

## МОДЕЛИРОВАНИЕ НЕСТАЦИОНАРНОГО ПРОЦЕССА ТЕПЛОПРОВОДНОСТИ В СОСТАВНОМ ЦИЛИНДРЕ ПРИ ЛОКАЛЬНОМ ПЕРИОДИЧЕСКОМ ТЕПЛОМ ВОЗДЕЙСТВИИ

*Предложена математическая модель нестационарного процесса теплопроводности в составном цилиндре при локальном периодическом тепловом воздействии на его торцевую поверхность. Разработан алгоритм расчета нестационарного температурного поля, учитывающий зависимость теплофизических свойств материалов от температуры, а также условие неидеального теплового контакта между слоями. Приведен пример численного расчета.*

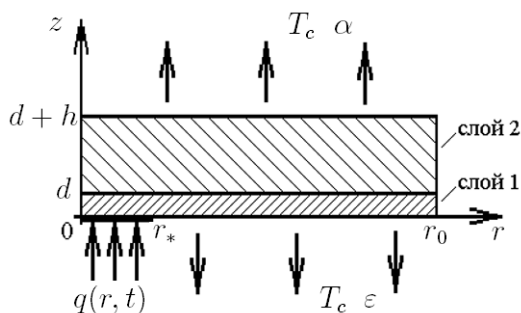
**E-mail:** k\_fn12@bmstu.ru

**Ключевые слова:** математическая модель, нестационарный процесс теплопроводности, цилиндр, локальное периодическое тепловое воздействие, температурное поле, неидеальный тепловой контакт.

Применение лазерных технологий в современном машиностроении получило широкое распространение [1], в связи с чем особый интерес представляет исследование процессов теплопереноса в многослойных конструкциях, поверхности которых подвержены локальному интенсивному периодическому тепловому воздействию [2, 3].

**Постановка задачи и математическая модель процесса.** Рассматривается нестационарный процесс теплопроводности в цилиндре радиусом  $r_0$ , состоящем из двух слоев толщиной  $d$  и  $h$  (рис. 1). Разогрев составного цилиндра осуществляется осесимметричным круговым ( $0 \leq r \leq r_*$ ) локальным периодическим источником теплоты, действующим на нижнем основании цилиндра, с плотностью теплового потока

$$q(r, t) = q_0 \left( 1 + \cos \frac{\pi r}{r_*} \right) \cdot \bar{\eta}(t), \quad t > 0, \quad 0 \leq r \leq r_*,$$



**Рис. 1.** Осевое сечение составного цилиндра

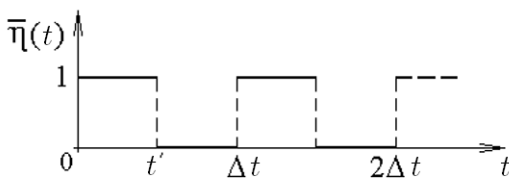


Рис. 2. График функции  $\bar{\eta}(t)$

где  $r_*$  — радиус пятна теплового контакта;  $\bar{\eta}(t)$  — ступенчатая периодическая функция с периодом по времени равным  $\Delta t$  (рис. 2). Кроме того, на нижнем основании цилиндра вне зоны воздействия источника теплоты, происходит теплообмен излучением. Верхнее основание цилиндра охлаждается внешней средой по закону Ньютона с коэффициентом теплоотдачи  $\alpha$ . Боковая поверхность цилиндра теплоизолирована. В начальный момент времени температура составного цилиндра постоянна и равна температуре внешней среды  $T_C$ . Предполагается, что тепловой контакт между слоями цилиндра является неидеальным [4], а теплофизические свойства материалов слоев зависят от температуры.

Математическая модель рассматриваемого нестационарного процесса теплопроводности имеет вид

$$\rho_1 c_1 (T_1) \frac{\partial T_1}{\partial t} = \frac{1}{r} \frac{\partial}{\partial r} \left( \lambda_1 (T_1) r \frac{\partial T_1}{\partial r} \right) + \frac{\partial}{\partial z} \left( \lambda_1 (T_1) \frac{\partial T_1}{\partial z} \right), \quad (1)$$

$$t > 0, \quad 0 \leq r < r_0, \quad 0 < z < d;$$

$$\rho_2 c_2 (T_2) \frac{\partial T_2}{\partial t} = \frac{1}{r} \frac{\partial}{\partial r} \left( \lambda_2 (T_2) r \frac{\partial T_2}{\partial r} \right) + \frac{\partial}{\partial z} \left( \lambda_2 (T_2) \frac{\partial T_2}{\partial z} \right), \quad (2)$$

$$t > 0, \quad 0 \leq r < r_0, \quad d < z < d + h;$$

$$T_1(r, z, 0) = T_C, \quad 0 \leq r \leq r_0, \quad 0 \leq z \leq d; \quad (3)$$

$$T_2(r, z, 0) = T_C, \quad 0 \leq r \leq r_0, \quad d \leq z \leq d + h; \quad (4)$$

$$-\lambda_1 (T_1) \frac{\partial T_1}{\partial z} \Big|_{z=0} = \begin{cases} q(r, t), & t > 0, \quad 0 \leq r \leq r_*; \\ \sigma \varepsilon (T_C^4 - T_1^4(r, 0, t)), & t > 0, \quad r_* < r \leq r_0; \end{cases} \quad (5)$$

$$-\lambda_2 (T_2) \frac{\partial T_2}{\partial z} \Big|_{z=d+h} = \alpha (T_2(r, d + h, t) - T_C), \quad t > 0, \quad 0 \leq r \leq r_0; \quad (6)$$

$$\frac{\partial T_1}{\partial r} \Big|_{r=r_0} = 0, \quad t > 0, \quad 0 \leq z \leq d; \quad (7)$$

$$\frac{\partial T_2}{\partial r} \Big|_{r=r_0} = 0, \quad t > 0, \quad d \leq z \leq d + h; \quad (8)$$

$$\begin{aligned}
 -\lambda_1(T_1) \frac{\partial T_1}{\partial z} \Big|_{z=d} &= \frac{1}{R} (T_1(r, d, t) - T_2(r, d, t)) = \\
 &= -\lambda_2(T_2) \frac{\partial T_2}{\partial z} \Big|_{z=d}, \quad t > 0, \quad 0 \leq r \leq r_0. \quad (9)
 \end{aligned}$$

Здесь приняты следующие обозначения: значения индекса  $j = 1$  и  $j = 2$  соответствуют слоям 1 и 2 составного цилиндра;  $T_j(r, z, t)$  — искомые температурные поля;  $\rho$ ,  $c$  и  $\lambda$  — плотность, удельная теплоемкость и коэффициент теплопроводности соответственно;  $\sigma$  — постоянная Стефана–Больцмана;  $\varepsilon$  — степень черноты излучающей поверхности;  $R$  — термическое сопротивление на поверхности контакта.

**Построение алгоритма приближенного решения.** Для нахождения приближенного аналитического решения задачи (1)–(9) воспользуемся модификацией [5] метода, предложенного в работах [6, 7].

Умножим обе части уравнений (1) и (2) на  $r$  и введем функции

$$C_j(T_j, r) = \rho_j r c_j(T_j), \quad \Lambda_j(T_j, r) = r \lambda_j(T_j), \quad j = 1, 2.$$

Тогда уравнения (1) и (2) можно записать в виде

$$C_1(T_1, r) \frac{\partial T_1}{\partial t} = \operatorname{div}(\Lambda_1(T_1, r) \operatorname{grad} T_1), \quad t > 0, \quad 0 < r < r_0, \quad 0 < z < d; \quad (10)$$

$$C_2(T_2, r) \frac{\partial T_2}{\partial t} = \operatorname{div}(\Lambda_2(T_2, r) \operatorname{grad} T_2), \quad t > 0, \quad 0 < r < r_0, \quad d < z < d + h, \quad (11)$$

где операции  $\operatorname{div}$  и  $\operatorname{grad}$  следует рассматривать как операции в прямоугольной декартовой системе координат  $(r, z)$ .

Проведем дискретизацию временной переменной  $t$  системой точек  $t_k = k\tau$ ,  $k = 1, 2, \dots$  с достаточно малым шагом  $\tau > 0$  и заменим в уравнениях (10), (11) производные по времени конечно-разностными отношениями

$$\frac{\partial T_j}{\partial t} \approx \frac{T_j^{(k)}(r, z) - T_j^{(k-1)}(r, z)}{\tau}, \quad k = 1, 2, \dots, \quad j = 1, 2,$$

где  $T_j^{(k)}(r, z)$  — приближенные значения функций  $T_j(r, z, t)$  при  $t = t_k$ . Следует отметить, что согласно начальным условиям (3) и (4)  $T_j^{(0)}(r, z) = T_C$ .

Полагая на каждом временном слое  $t = t_k$  все нелинейности известными, вычисленными на предыдущем временном слое  $t = t_{k-1}$ , обозначим

$$\begin{aligned}
 C_j^{(k)}(r, z) &= C_j\left(T_j^{(k-1)}(r, z), r\right), \\
 \Lambda_j^{(k)}(r, z) &= \Lambda_j\left(T_j^{(k-1)}(r, z), r\right), \quad j = 1, 2;
 \end{aligned}$$

$$q^{(k)}(r) = q(r, t_k).$$

Кроме того, на каждом временном слое  $t = t_k$  тепловые потоки в граничных условиях (5), (6) и условия сопряжения (9) вычислим, используя функции  $T_j^{(k-1)}(r, z)$ , найденные на временном слое  $t = t_{k-1}$ :

$$Q_1^{(k)}(r) = \begin{cases} r q^{(k)}(r), & 0 \leq r \leq r_*; \\ \sigma \varepsilon r \left( T_C^4 - \left[ T_1^{(k-1)}(r, 0) \right]^4 \right), & r_* < r \leq r_0; \end{cases}$$

$$Q_2^{(k)}(r) = \alpha r \left( T_2^{(k-1)}(r, d+h) - T_C \right);$$

$$Q_0^{(k)}(r) = \frac{r}{R} \left( T_1^{(k-1)}(r, d) - T_2^{(k-1)}(r, d) \right).$$

Это позволяет записать дифференциально-разностный аналог начально-краевой задачи (1)–(9) в виде итерационной схемы ( $k = 1, 2, \dots$ ) решения двух краевых задач для линейных эллиптических уравнений с переменными коэффициентами  $C_j^{(k)}(r, z)$ ,  $\Lambda_j^{(k)}(r, z)$ :

$$\begin{aligned} & - \operatorname{div} \left( \Lambda_1^{(k)}(r, z) \operatorname{grad} T_1^{(k)}(r, z) \right) + \frac{1}{\tau} C_1^{(k)}(r, z) T_1^{(k)}(r, z) = \\ & = \frac{1}{\tau} C_1^{(k)}(r, z) T_1^{(k-1)}(r, z), \quad 0 < r < r_0, \quad 0 < z < d; \end{aligned} \quad (12)$$

$$\left. \frac{\partial T_1^{(k)}}{\partial r} \right|_{r=0} = 0, \quad \left. \frac{\partial T_1^{(k)}}{\partial r} \right|_{r=r_0} = 0, \quad 0 \leq z \leq d; \quad (13)$$

$$-\Lambda_1^{(k)}(r, z) \left. \frac{\partial T_1^{(k)}}{\partial z} \right|_{z=0} = Q_1^{(k)}(r), \quad (14)$$

$$-\Lambda_1^{(k)}(r, z) \left. \frac{\partial T_1^{(k)}}{\partial z} \right|_{z=d} = Q_0^{(k)}(r), \quad 0 \leq r \leq r_0;$$

$$\begin{aligned} & - \operatorname{div} \left( \Lambda_2^{(k)}(r, z) \operatorname{grad} T_2^{(k)}(r, z) \right) + \frac{1}{\tau} C_2^{(k)}(r, z) T_2^{(k)}(r, z) = \\ & = \frac{1}{\tau} C_2^{(k)}(r, z) T_2^{(k-1)}(r, z), \quad 0 < r < r_0, \quad d < z < d+h; \end{aligned} \quad (15)$$

$$\left. \frac{\partial T_2^{(k)}}{\partial r} \right|_{r=0} = 0, \quad \left. \frac{\partial T_2^{(k)}}{\partial r} \right|_{r=r_0} = 0, \quad d \leq z \leq d+h; \quad (16)$$

$$-\Lambda_2^{(k)}(r, z) \left. \frac{\partial T_2^{(k)}}{\partial z} \right|_{z=d} = Q_0^{(k)}(r), \quad (17)$$

$$-\Lambda_2^{(k)}(r, z) \left. \frac{\partial T_2^{(k)}}{\partial z} \right|_{z=d+h} = Q_2^{(k)}(r), \quad 0 \leq r \leq r_0.$$

Отметим, что задачи (12)–(14) и (15)–(17) на каждом временном слое  $t = t_k$  решаются независимо.

На  $k$ -м шаге итерации функции  $T_j^{(k)}(r, z)$  будем искать в форме разложения в двойные тригонометрические ряды Фурье

$$T_j^{(k)}(r, z) = \sum_{m=0}^{\infty} \sum_{n=0}^{\infty} \gamma_{mn} a_{j,mn}^{(k)} X_{j,mn}(r, z), \quad j = 1, 2,$$

$\gamma_{mn} = \gamma_m \gamma_n$ ,  $\gamma_m = \begin{cases} 0,5, & m = 0; \\ 1, & m > 0, \end{cases}$  по полным и ортогональным [5] в областях  $\Omega_j$ ,  $j = 1, 2$ , системам функций  $\{X_{j,mn}(r, z)\}_{m,n=0}^{\infty}$ :

$$X_{1,mn}(r, z) = \cos(\mu_m r) \cos(\nu_{1,n} z), \quad \Omega_1 = (0, r_0) \times (0, d);$$

$$X_{2,mn}(r, z) = \cos(\mu_m r) \cos(\nu_{2,n}(z - d)), \quad \Omega_2 = (0, r_0) \times (d, d + h),$$

где  $\mu_m = \frac{m\pi}{r_0}$ ,  $\nu_{1,n} = \frac{n\pi}{d}$ ,  $\nu_{2,n} = \frac{n\pi}{h}$ .

Для нахождения коэффициентов  $a_{j,mn}^{(k)}$  этих разложений умножим уравнения (12) и (15) на функции  $X_{1,ps}(r, z)$  и  $X_{2,ps}(r, z)$  соответственно, а затем проинтегрируем полученные соотношения по областям  $\Omega_1$  и  $\Omega_2$ . С учетом граничных условий (13), (14) и (16), (17) приходим к бесконечным системам линейных алгебраических уравнений относительно искомым коэффициентов  $a_{j,mn}^{(k)}$ :

$$\sum_{m=0}^{\infty} \sum_{n=0}^{\infty} A_{j,psmn}^{(k)} \gamma_{mn} a_{j,mn}^{(k)} = b_{j,ps}^{(k)}, \quad p = 0, 1, 2, \dots, \quad s = 0, 1, 2, \dots, \quad j=1, 2, \quad (18)$$

где

$$\begin{aligned} A_{j,psmn}^{(k)} = & \tau(\mu_m \mu_p + \nu_{j,n} \nu_{j,s}) \left( \xi_{j, (|m-p|, |n-s|)}^{(k)} - \xi_{j, (m+p, n+s)}^{(k)} \right) + \\ & + \tau(\mu_m \mu_p - \nu_{j,n} \nu_{j,s}) \left( \xi_{j, (|m-p|, n+s)}^{(k)} - \xi_{j, (m+p, |n-s|)}^{(k)} \right) + \\ & + \eta_{j, (|m-p|, |n-s|)}^{(k)} + \eta_{j, (m+p, |n-s|)}^{(k)} + \eta_{j, (|m-p|, n+s)}^{(k)} + \eta_{j, (m+p, n+s)}^{(k)}; \end{aligned}$$

$$\begin{aligned} b_{j,ps}^{(k)} = & f_j^{(k)} + \sum_{m=0}^{\infty} \sum_{n=0}^{\infty} \gamma_{mn} a_{j,mn}^{(k-1)} \times \\ & \times \left( \eta_{j, (|m-p|, |n-s|)}^{(k)} + \eta_{j, (m+p, |n-s|)}^{(k)} + \eta_{j, (|m-p|, n+s)}^{(k)} + \eta_{j, (m+p, n+s)}^{(k)} \right); \\ f_1^{(k)} = & \frac{8\tau}{d} \left( (-1)^{s+1} \theta_p^{(k)} + \phi_p^{(k)} \right), \quad f_2^{(k)} = \frac{8\tau}{h} \left( (-1)^{s+1} \psi_p^{(k)} + \theta_p^{(k)} \right). \end{aligned}$$

Здесь  $\xi_{j, (p,s)}^{(k)}$  и  $\eta_{j, (p,s)}^{(k)}$  — коэффициенты Фурье разложений функций  $\Lambda_j^{(k)}(r, z)$  и  $C_j^{(k)}(r, z)$  соответственно в двойные тригонометрические

ряды по системам функций  $\{X_{j,ps}(r, z)\}_{p,s=0}^{\infty}$ ;  $\phi_p^{(k)}$ ,  $\theta_p^{(k)}$  и  $\psi_p^{(k)}$  — коэффициенты Фурье разложений функций  $Q_1^{(k)}(r)$ ,  $Q_0^{(k)}(r)$  и  $Q_2^{(k)}(r)$  соответственно в тригонометрические ряды по системе функций  $\{\cos(\mu_p r)\}_{p=0}^{\infty}$ .

Системы вида (18) можно преобразовать [5] к стандартному виду

$$\sum_{w=1}^{\infty} D_{j,vw}^{(k)} \tilde{x}_{j,w}^{(k)} = \tilde{b}_{j,v}^{(k)}, \quad v = 1, 2, \dots, j = 1, 2, \quad (19)$$

где  $\tilde{x}_{j,w}^{(k)}$  и  $\tilde{b}_{j,v}^{(k)}$  — одномерные массивы, составленные из элементов двумерных массивов  $x_{j,mn}^{(k)} \equiv \gamma_{mn} a_{j,mn}^{(k)}$  и  $b_{j,ps}^{(k)}$  соответственно, а  $D_{j,vw}^{(k)}$  — двумерный массив, составленный из элементов многомерного массива  $A_{j,psmn}^{(k)}$ . Для решения бесконечных систем вида (19) применим метод редукции [8, 9], а решения конечных систем, полученных из (19) усечением, могут быть найдены методом квадратных корней [10].

В результате построен алгоритм нахождения приближенного аналитического решения задачи (1)–(9) в форме тригонометрических многочленов

$$T_1(r, z, t_k) \approx \sum_{m=0}^{N_1} \sum_{n=0}^{N_1-m} \gamma_{mn} a_{1,mn}^{(k)} \cos(\mu_m r) \cos(\nu_{1,n} z);$$

$$T_2(r, z, t_k) \approx \sum_{m=0}^{N_2} \sum_{n=0}^{N_2-m} \gamma_{mn} a_{2,mn}^{(k)} \cos(\mu_m r) \cos(\nu_{2,n}(z-d)),$$

коэффициенты  $x_{j,mn}^{(k)} \equiv \gamma_{mn} a_{j,mn}^{(k)}$  которых находят из конечных систем линейных алгебраических уравнений

$$\sum_{w=1}^{M_j} D_{j,vw}^{(k)} \tilde{x}_{j,w}^{(k)} = \tilde{b}_{j,v}^{(k)}, \quad v = 1, 2, \dots, M_j, \quad j = 1, 2.$$

Здесь  $M_j = (N_j + 1)(N_j + 2)/2$ , а значения  $N_j$  определяются согласно оценке Рунге [11].

Выбор шага по временной переменной осуществляется автоматически. Для обеспечения заданной точности решения используется правило двойного пересчета [10].

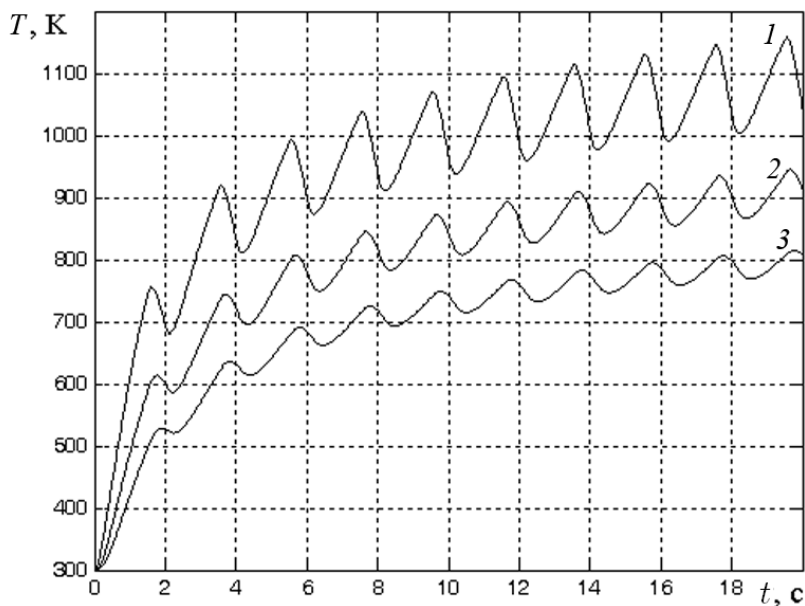
**Результаты численных расчетов.** Разработанный алгоритм использован для расчета температурного поля металлического цилиндра (слой 2) высотой  $h = 20 \cdot 10^{-3}$  м, на нижнее основание которого нанесено поглощающее покрытие (слой 1) толщиной  $d = 0,5 \cdot 10^{-3}$  м [1]. Вычисления проводились при следующих значениях параметров задачи:  $r_0 = 100 \cdot 10^{-3}$  м,  $r_* = 10 \cdot 10^{-3}$  м,  $\rho_1 = 3000$  кг/м<sup>3</sup>,  $\rho_2 = 7780$  кг/м<sup>3</sup>,  $T_C = 300$  К,  $q_0 = 5 \cdot 10^6$  Вт/м<sup>2</sup>,  $\alpha = 600$  Вт/(м<sup>2</sup>·К),  $R = 5 \cdot 10^{-4}$  м<sup>2</sup>·К/Вт,  $\sigma = 5,67 \cdot 10^{-8}$  Вт/(м<sup>2</sup>·К<sup>4</sup>),  $\varepsilon = 0,8$ ,  $\Delta t = 2$  с,  $t' = 1,5$  с.

В таблице приведены значения коэффициентов теплопроводности и удельных теплоемкостей материалов слоев составного цилиндра в зависимости от температуры [12].

**Теплофизические свойства материалов**

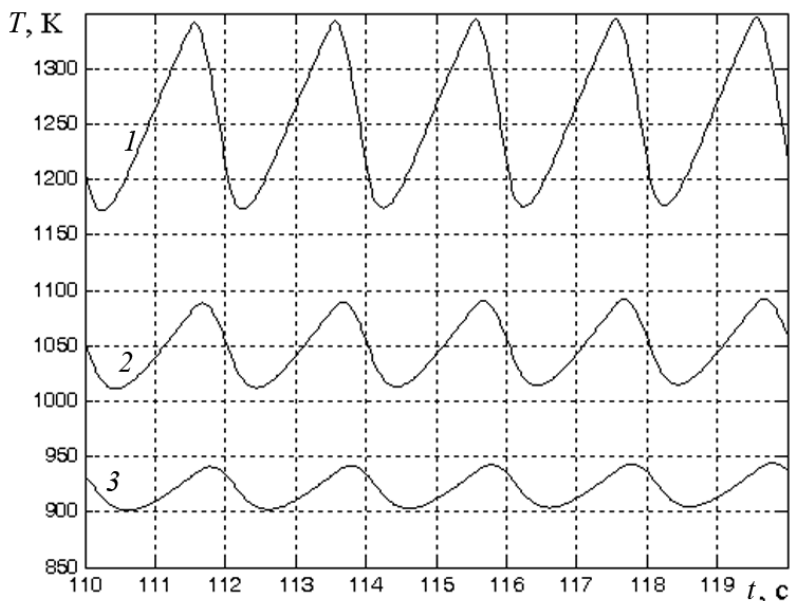
$T, K$	300	400	600	800	1000	1200	1400	1600	1800	2000
$\lambda_1, \text{Вт}/(\text{м}\cdot\text{К})$	32	28	20	16	7,5	6,4	5,6	5,4	5,2	5
$c_1, \text{Дж}/(\text{кг}\cdot\text{К})$	860	875	943	1020	1086	1102	1140	1160	1170	1178
$\lambda_2, \text{Вт}/(\text{м}\cdot\text{К})$	48	47	41	37	32	23	21	20	—	—
$c_2, \text{Дж}/(\text{кг}\cdot\text{К})$	469	505	521	660	616	577	560	545	—	—

На рис. 3 и 4 показана эволюция температуры в разных точках металлического слоя цилиндра. Периодическое внешнее тепловое воздействие приводит к возникновению колебаний температуры во всех точках цилиндра. Следует отметить, что, как и в линейных моделях [13, 14], период колебаний температуры совпадает с периодом воздействия источника теплоты. При удалении точек от источника в глубь материала наблюдается уменьшение амплитуды колебаний и сдвиг фазы колебаний. С момента времени  $t = 90$  с начинается процесс установления колебаний. Максимальный перепад температуры в точке по-



**Рис. 3. Эволюция температуры на начальном этапе разогрева ( $0 \leq t \leq 20$  с) в разных точках, лежащих на оси металлического цилиндра:**

$$1 - T_2(0, d, t), \quad 2 - T_2(0, d + \frac{h}{20}, t), \quad 3 - T_2(0, d + \frac{h}{10}, t)$$



**Рис. 4. Установившиеся колебания температуры в разных точках, лежащих на оси металлического цилиндра:**

$$1 - T_2(0, d, t), 2 - T_2(0, d + \frac{h}{20}, t), 3 - T_2(0, d + \frac{h}{10}, t)$$

верхностного слоя металла для установившихся колебаний достигает величины 150 К.

## СПИСОК ЛИТЕРАТУРЫ

1. Григорьянц А. Г., Шиганов И. Н., Мисюров А. И. Технологические процессы лазерной обработки. – М.: Изд-во МГТУ им. Н.Э. Баумана, 2006.
2. Григорьянц А. Г. Основы лазерной обработки материалов. – М.: Машиностроение, 1989.
3. Углов А. А., Смуров И. Ю., Лашин А. М., Гуськов А. Г. Моделирование теплофизических процессов импульсного лазерного воздействия на металлы. – М.: Наука, 1991.
4. Карташов Э. М. Аналитические методы в теории теплопроводности твердых тел. – М.: Высш. шк., 2001.
5. Чигирева О. Ю. Математическое моделирование процесса разогрева цилиндрической поверхности движущимся интенсивным источником тепла. // Инженерно-физический журнал. – 2006. – Т. 79, № 6. – С. 31–37.
6. Малов Ю. И., Мартинсон Л. К. Приближенные методы решения краевых задач. – М.: Изд-во МВТУ им. Н.Э. Баумана, 1989.
7. Малов Ю. И., Мартинсон Л. К., Рогожин В. М. Математическое моделирование процессов теплопереноса при плазменном напылении // Вестник МГТУ им. Н.Э. Баумана. Сер. Машиностроение. – 1994. – № 3. – С. 3–16.
8. Канторович Л. В., Крылов В. И. Приближенные методы высшего анализа. – М.–Л.: Физматгиз, 1962.
9. Канторович Л. В., Акилов Г. П. Функциональный анализ. – М.: Наука, 1984.



10. Амосов А. А., Дубинский Ю. А., Копченова Н. В. Вычислительные методы для инженеров. – М.: Высш. шк., 1994.
11. Чигирёва О. Ю. Расчет оптимальной толщины слоя термоизоляции в многослойном цилиндрическом пакете // Вестник МГТУ им. Н.Э.Баумана. Сер. Естественные науки. – 2005. – № 1. – С. 94–101.
12. Чиркин В. С. Теплофизические свойства материалов: Справочник. – М.: Физматгиз, 1959.
13. Лыков А. В. Теория теплопроводности. – М.: Высш. шк., 1967.
14. Тихонов А. Н., Самарский А. А. Уравнения математической физики. – М.: Наука, 2004.

Статья поступила в редакцию 10.04.11

Ольга Юрьевна Чигирёва родилась в 1979 г., окончила МГТУ им. Н.Э.Баумана в 2002 г. Канд. физ.-мат. наук, доцент кафедры “Математическое моделирование” МГТУ им. Н.Э.Баумана. Автор ряда научных работ в области математической физики и математического моделирования.

O.Yu. Chigiryova (b. 1979) graduated from the Bauman Moscow State Technical University in 2002. Ph. D. (Phys.-Math.), assoc. professor of “Mathematical Simulation” department of the Bauman Moscow State Technical University. Author of some publications in the field of mathematical physics and mathematical simulation.